

Fig. 1A

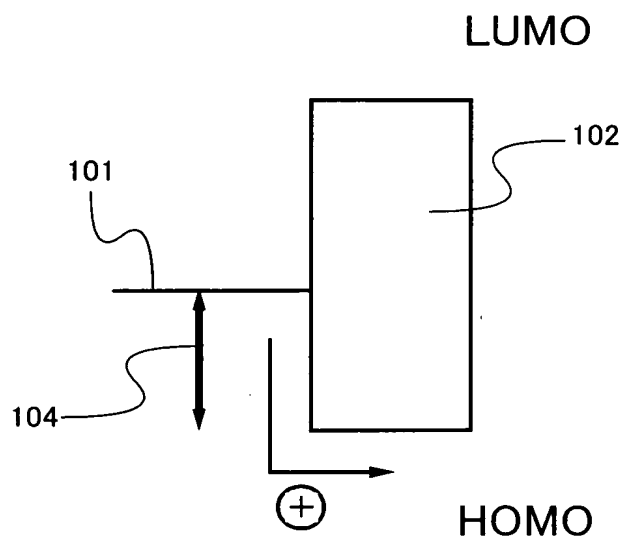
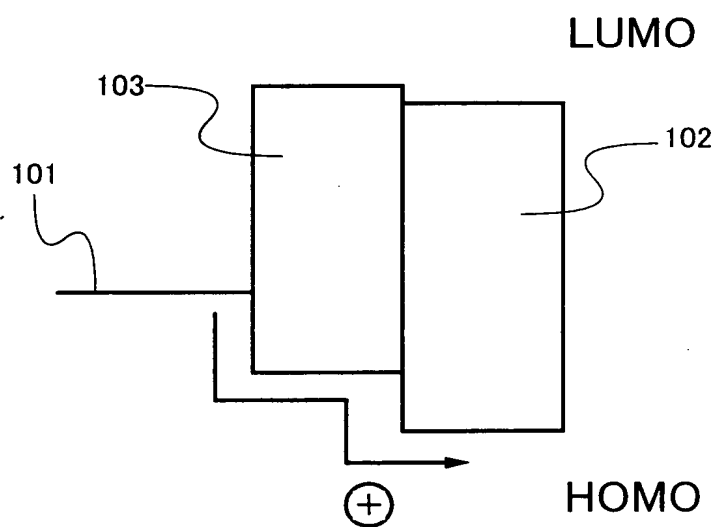


Fig. 1B



10026064-122101

Fig. 2

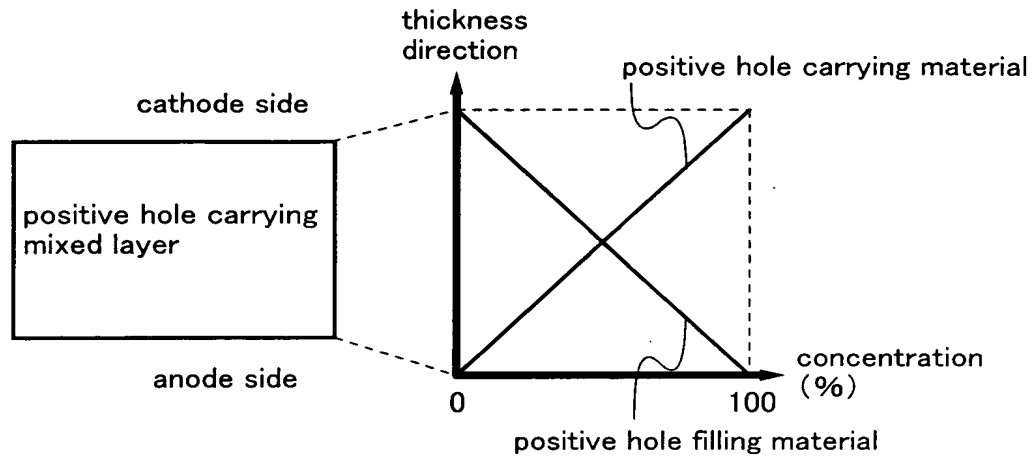


Fig. 3

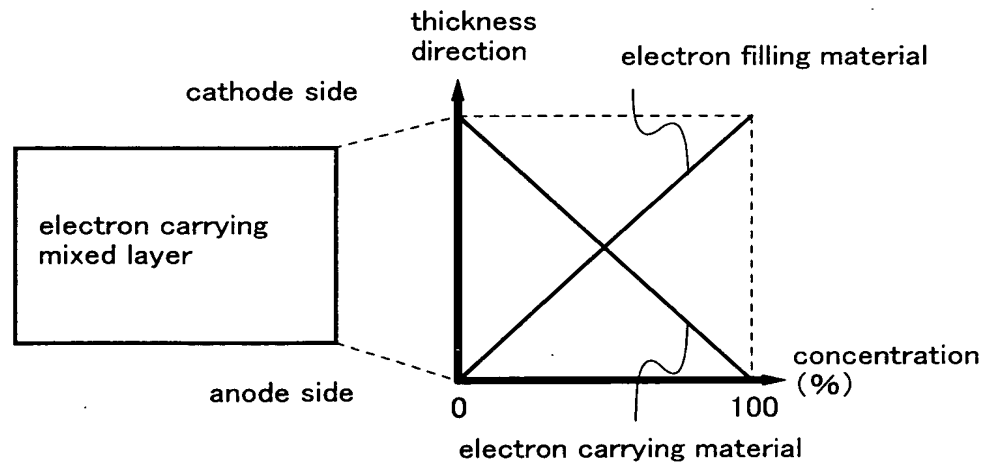


Fig. 4

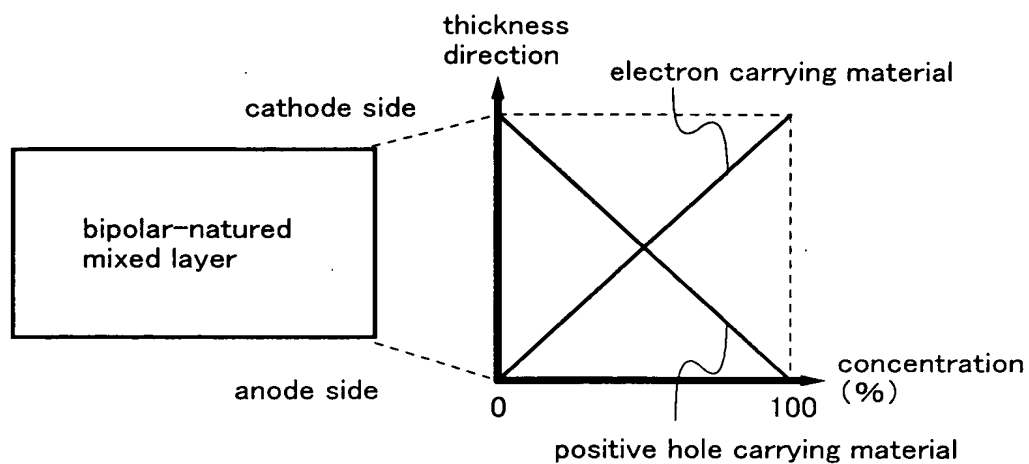


Fig. 5

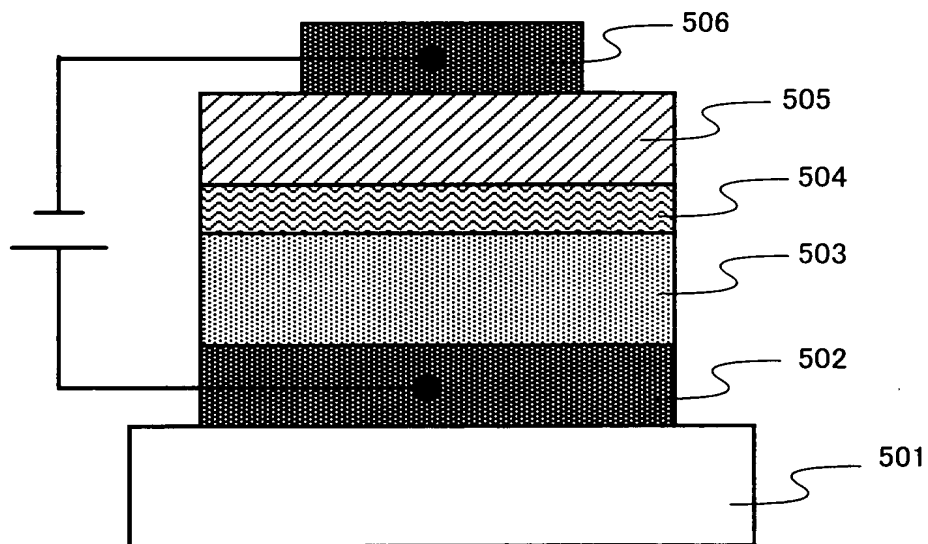


Fig. 6

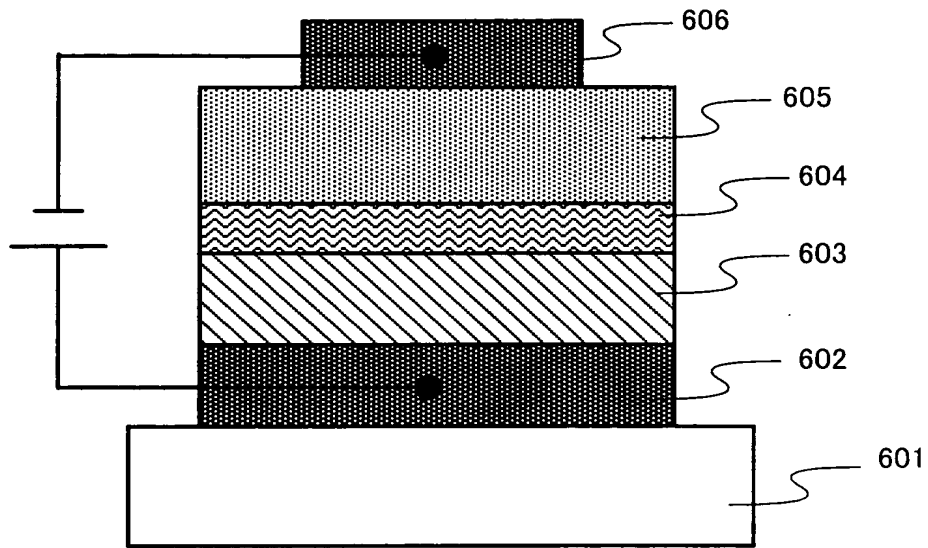
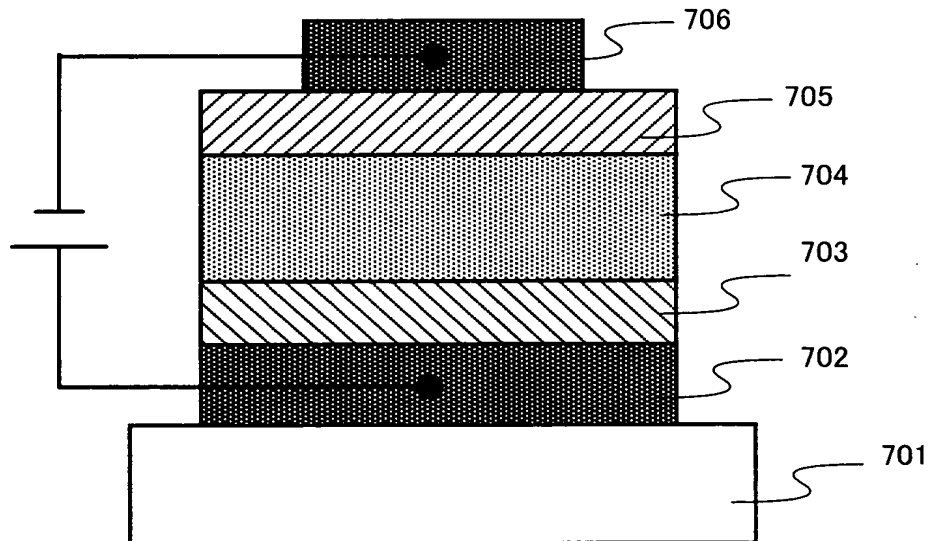


Fig. 7



10026054-122101
FIG. 6

Fig. 8

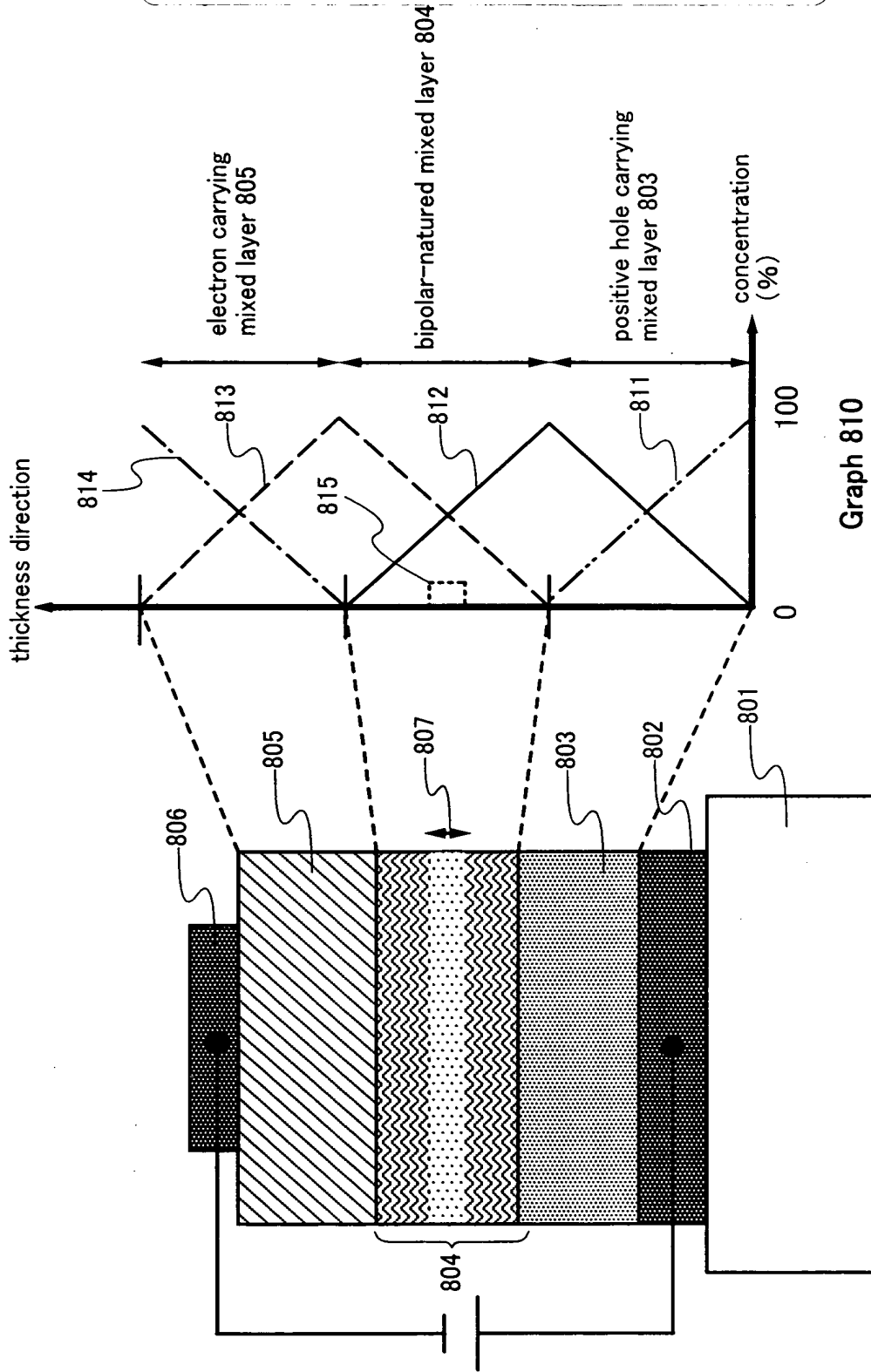
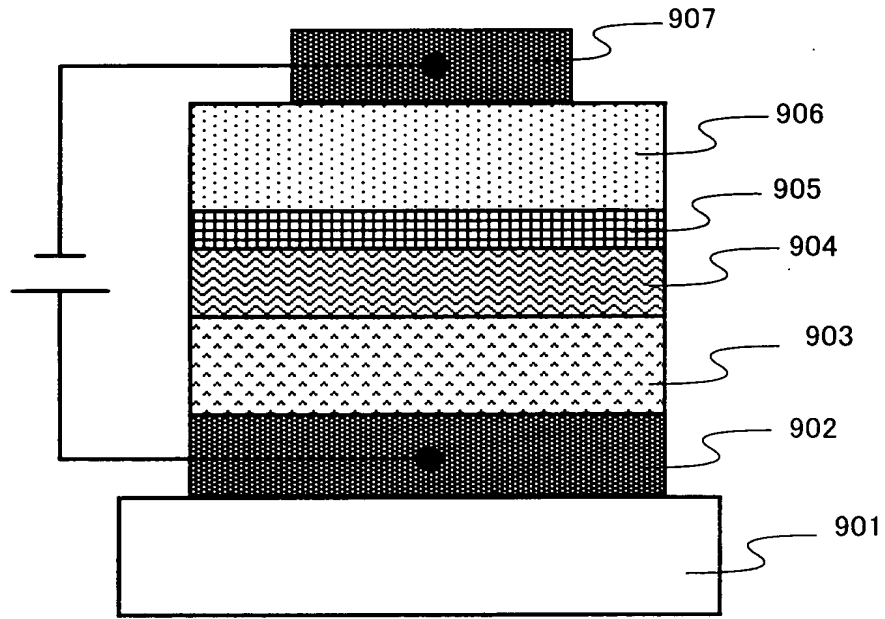


FIG. 8

Fig. 9



10026064-122101

Fig. 10

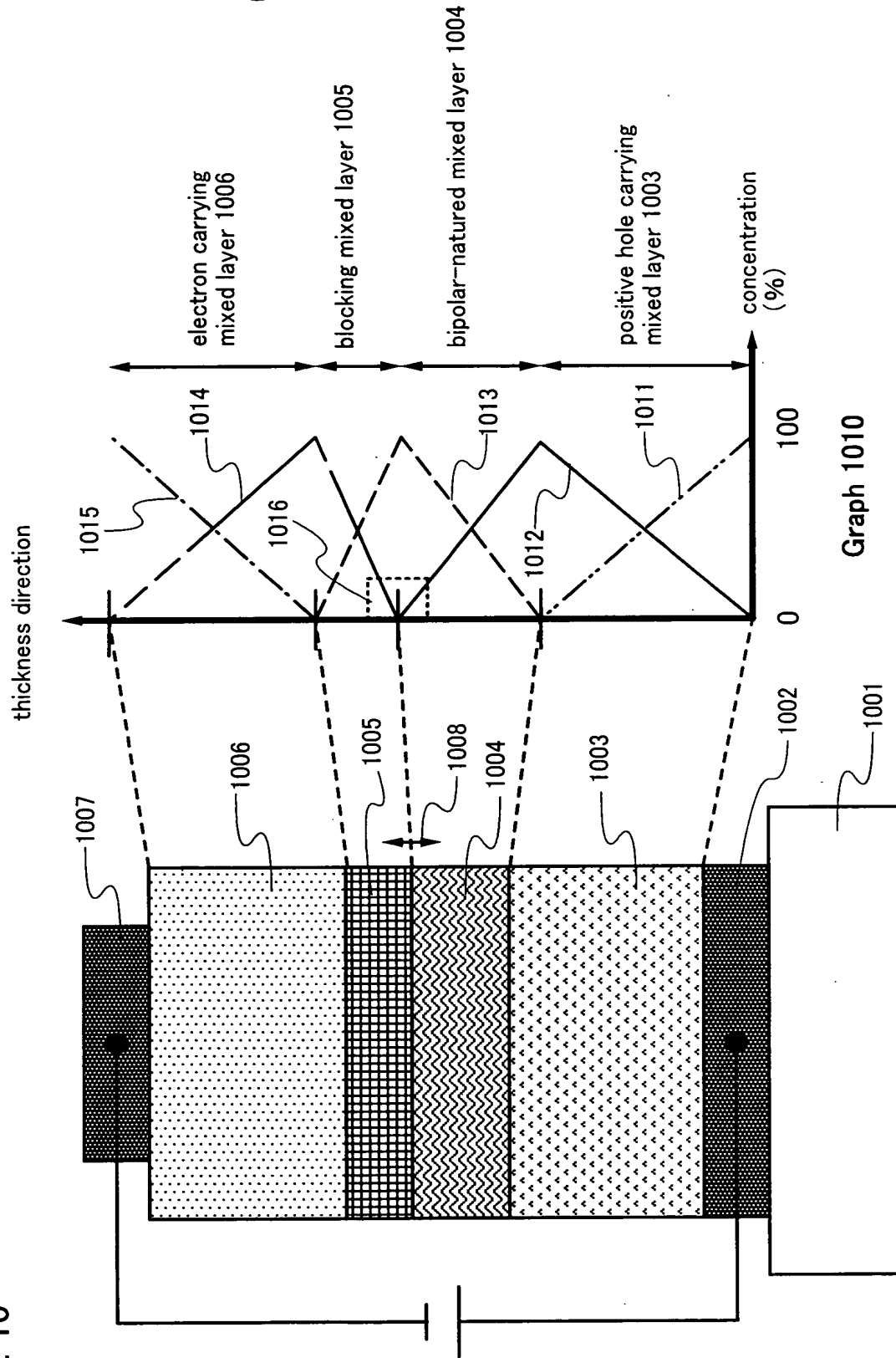
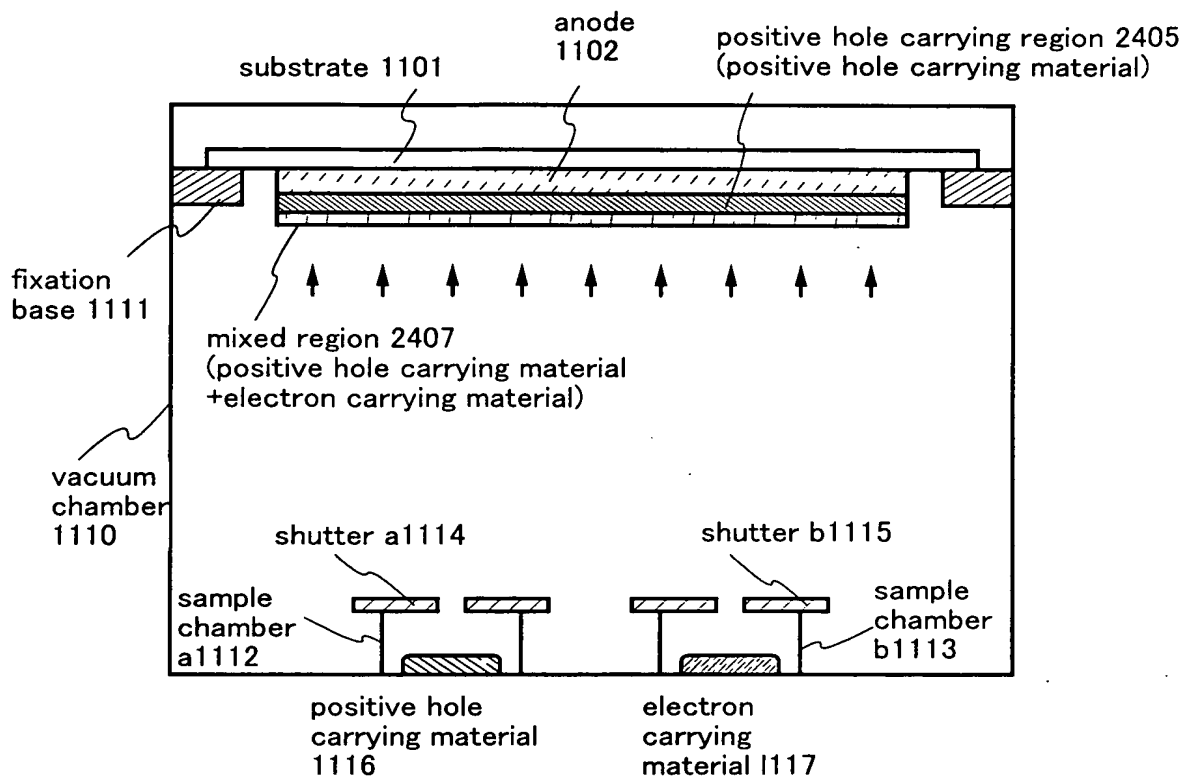


FIG. 10

Fig. 11



10026064-122101

Fig. 12A

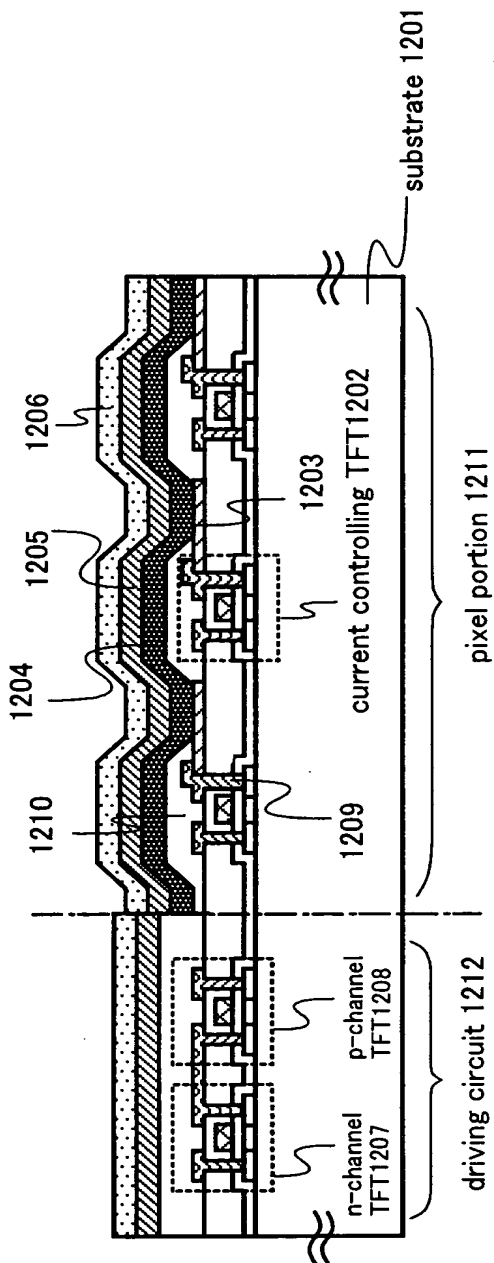


Fig. 12A

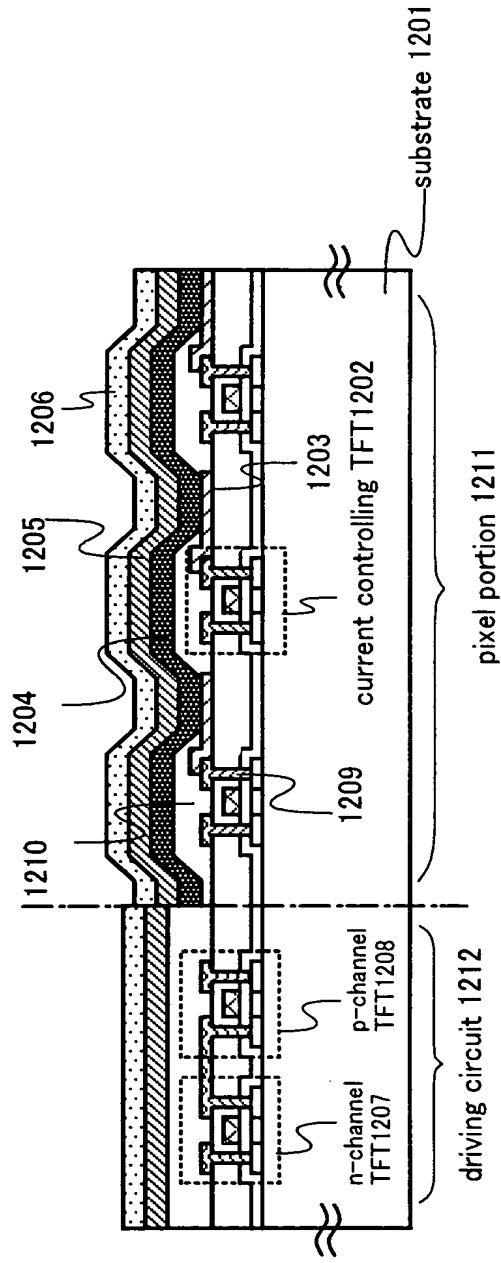


Fig. 12B

REPORT

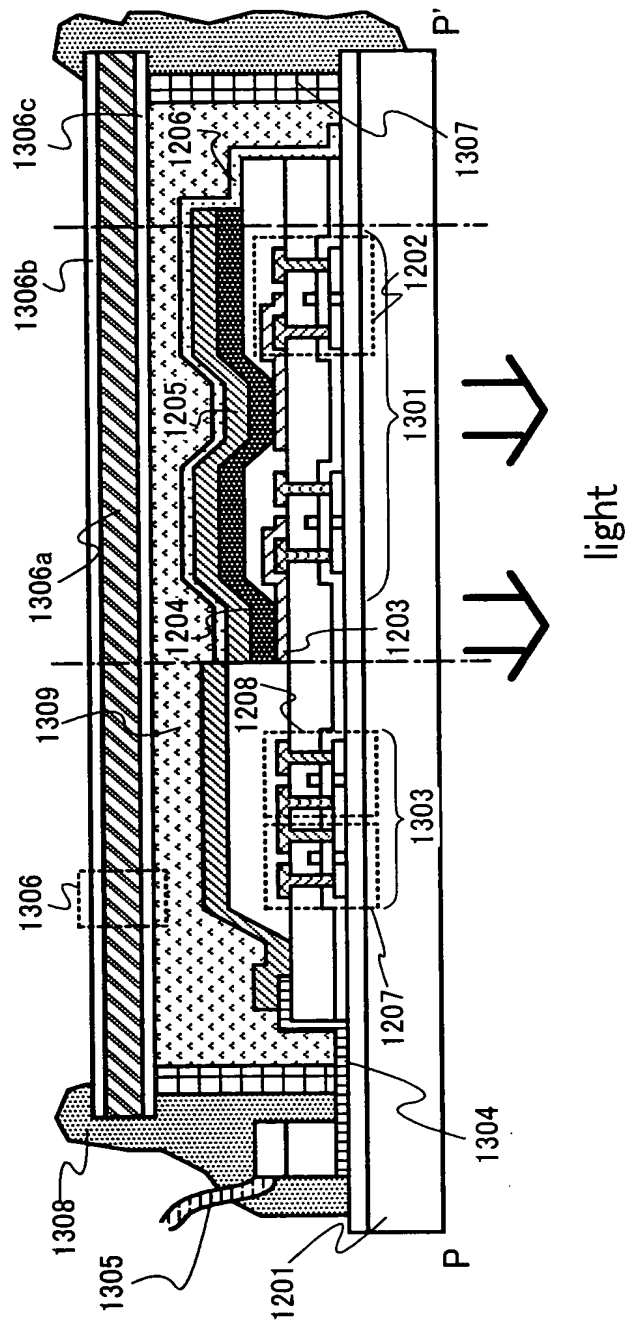
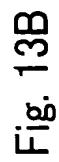


Fig. 14A

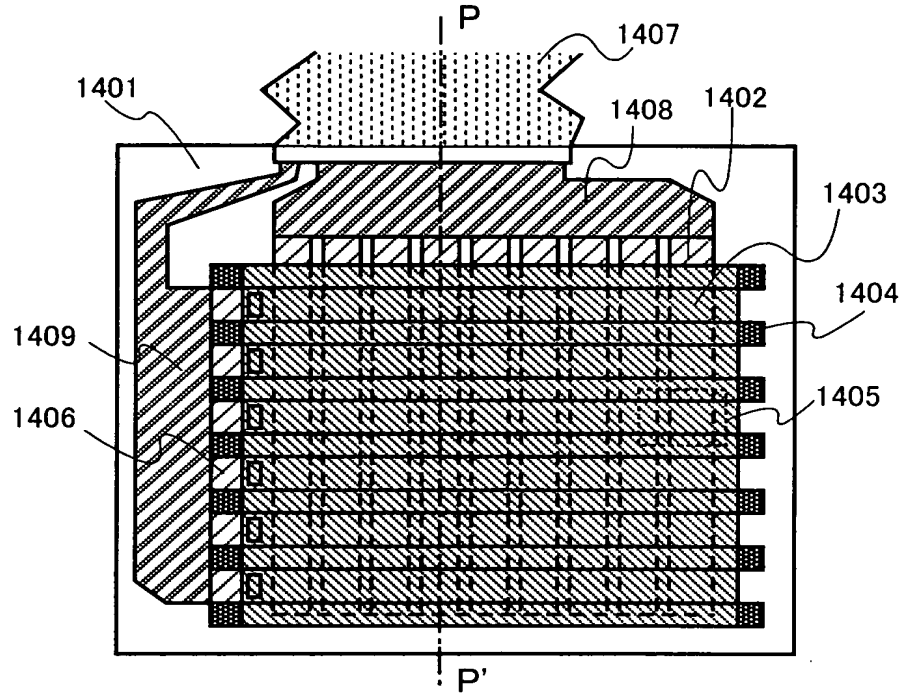


Fig. 14B

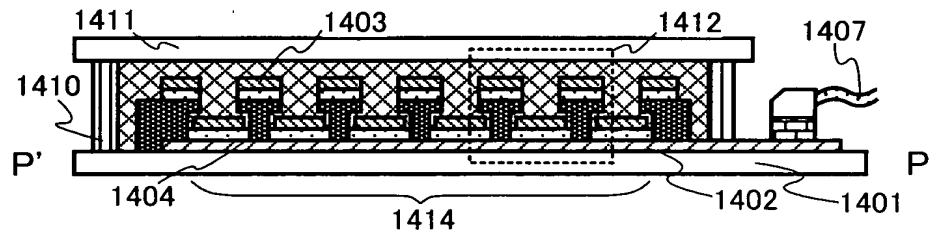


Fig. 14C

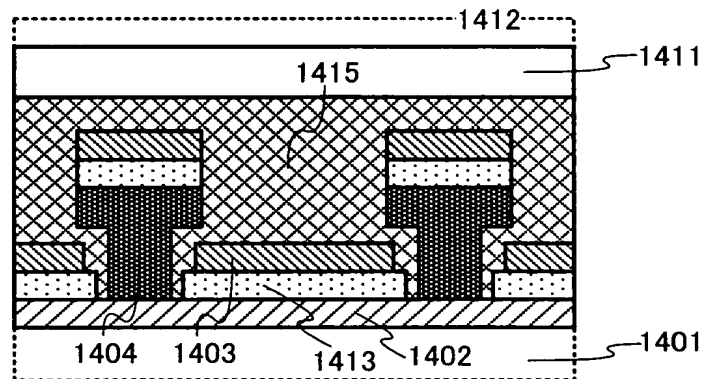


Fig. 15A

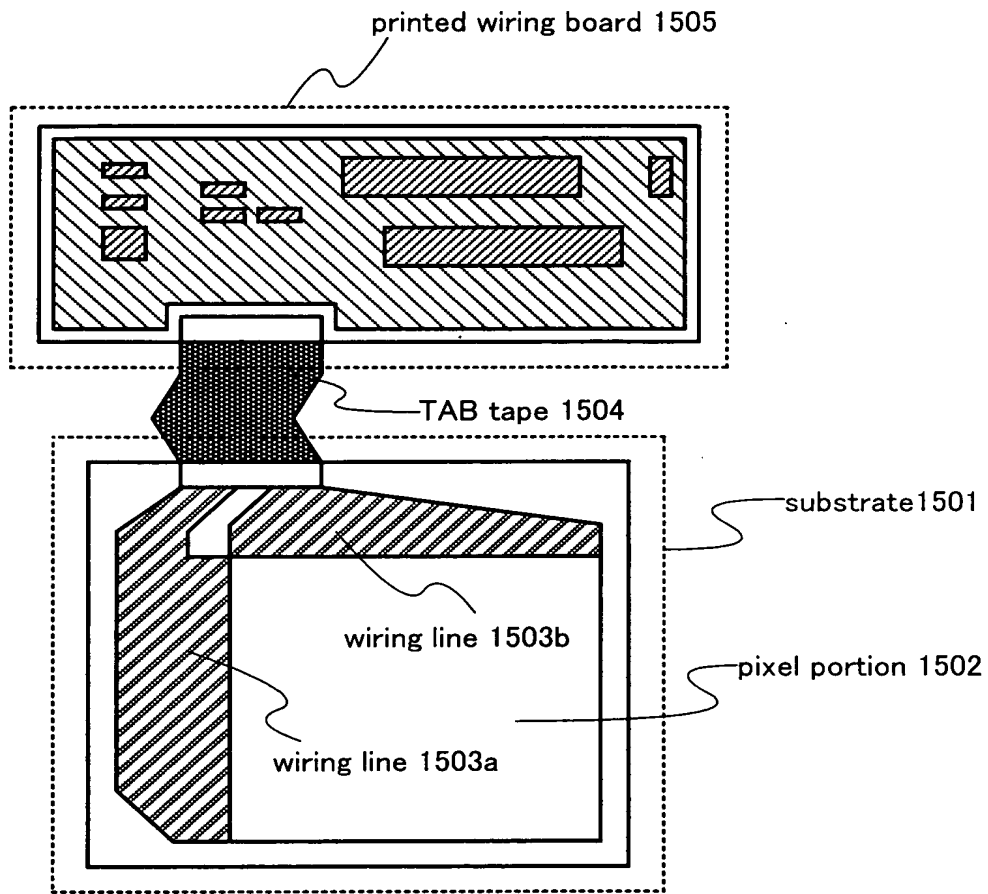


Fig. 15B

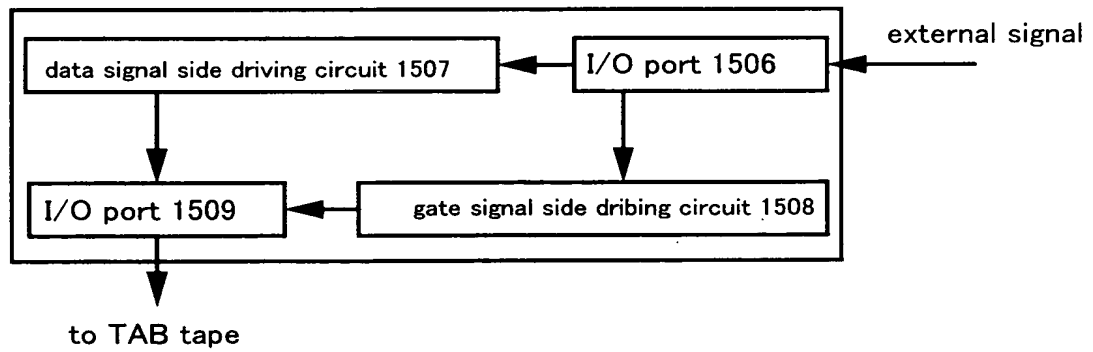


Fig. 16A

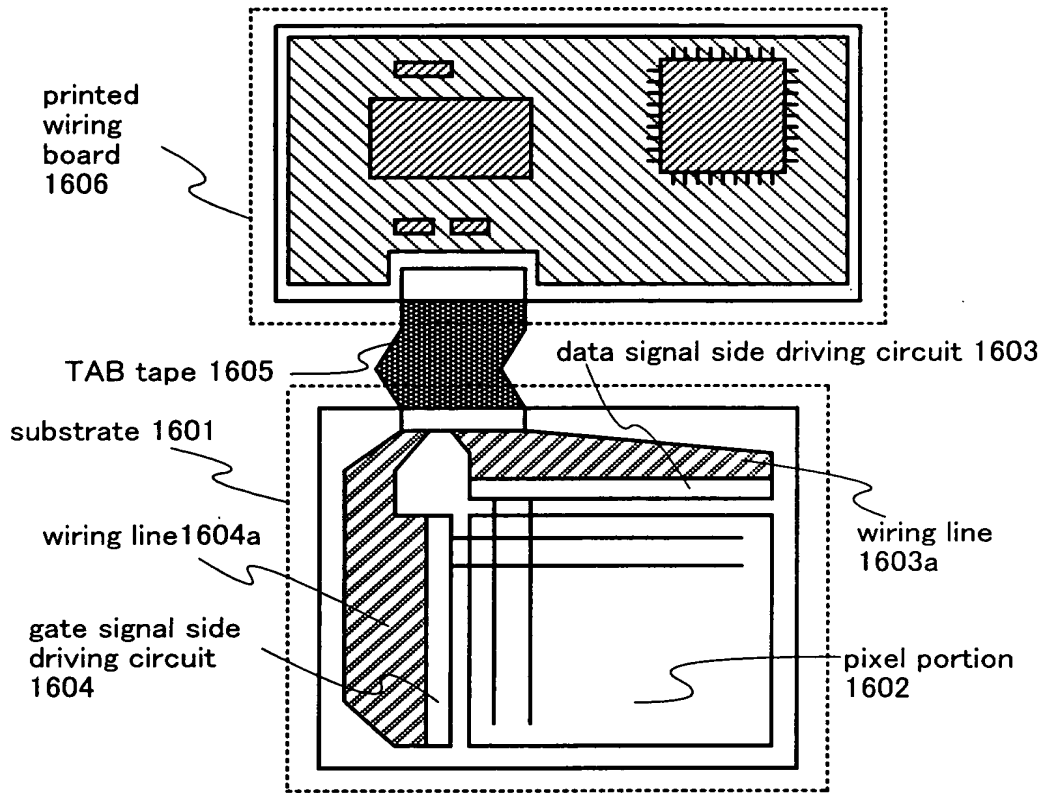
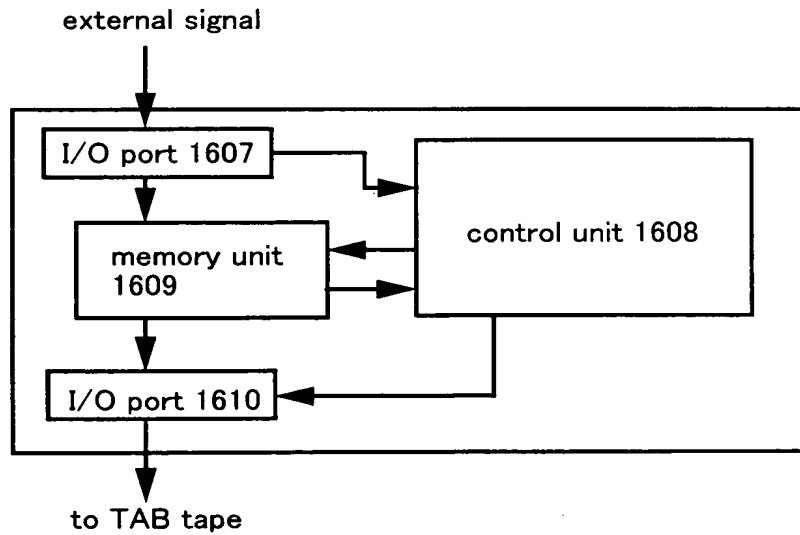


Fig. 16B



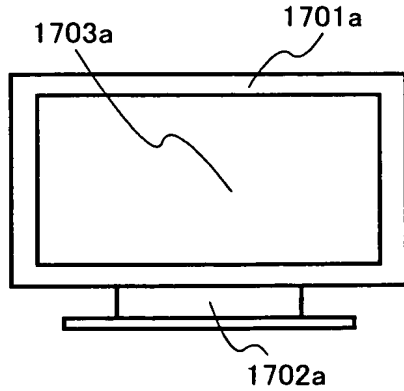


Fig. 17A

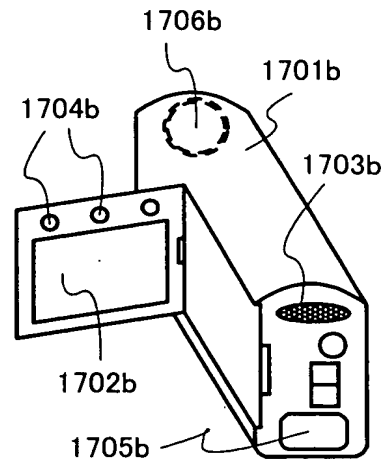


Fig. 17B

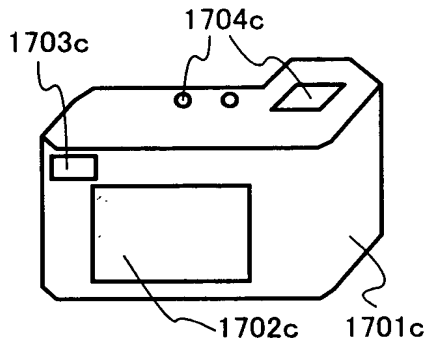


Fig. 17C

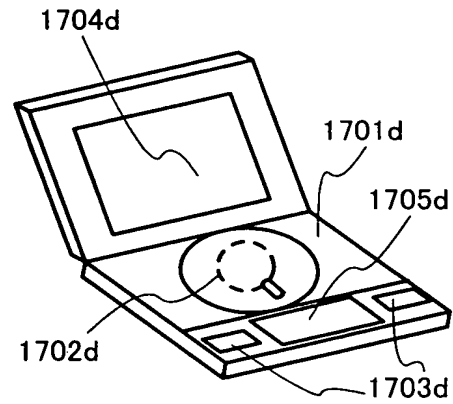


Fig. 17D

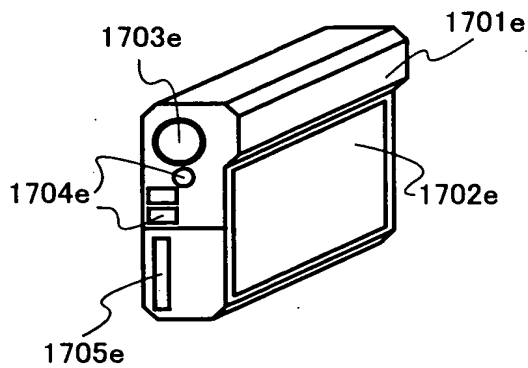


Fig. 17E

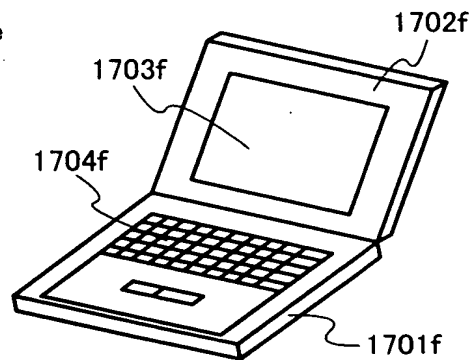


Fig. 17F

10025064-122101

Fig. 18A

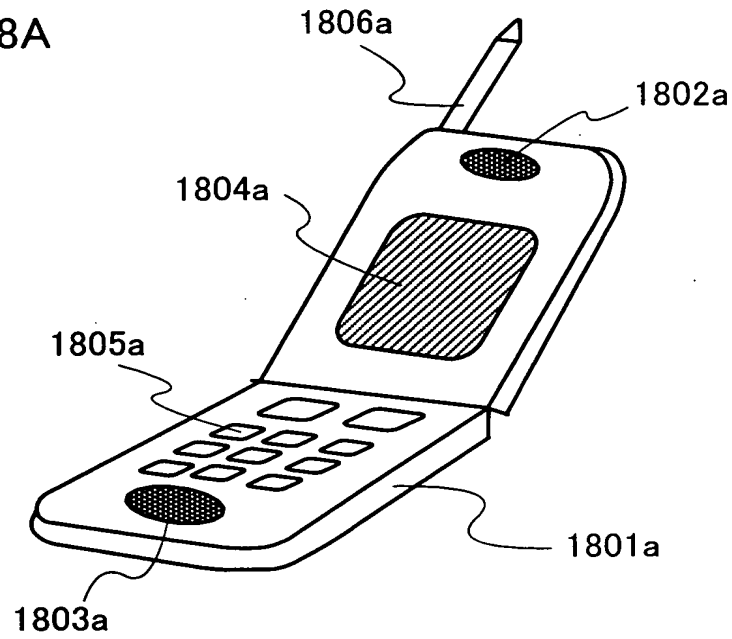
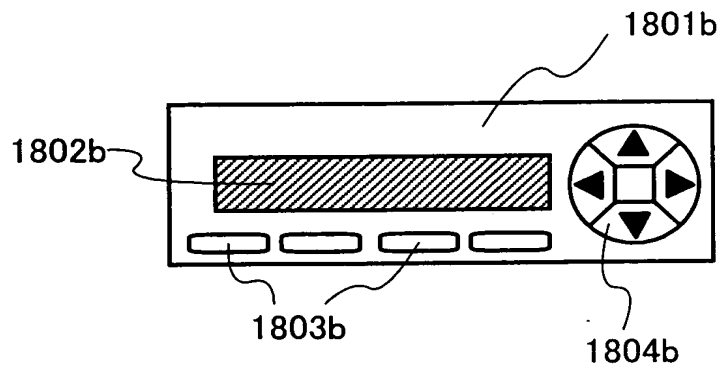


Fig. 18B



10026064-122101

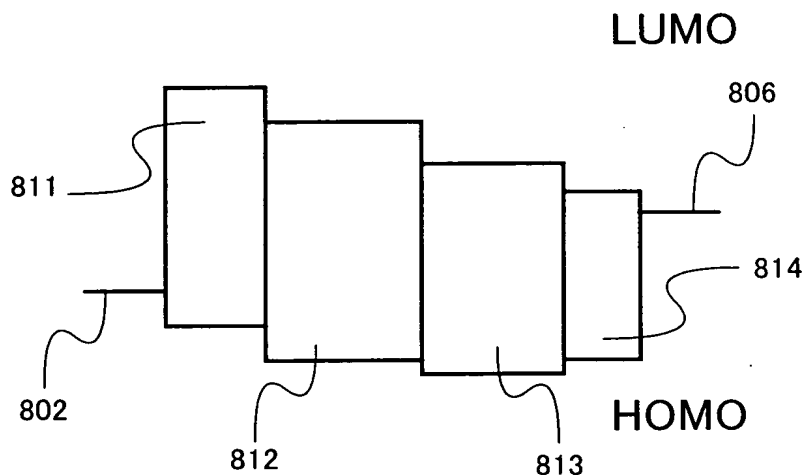


Fig. 19A

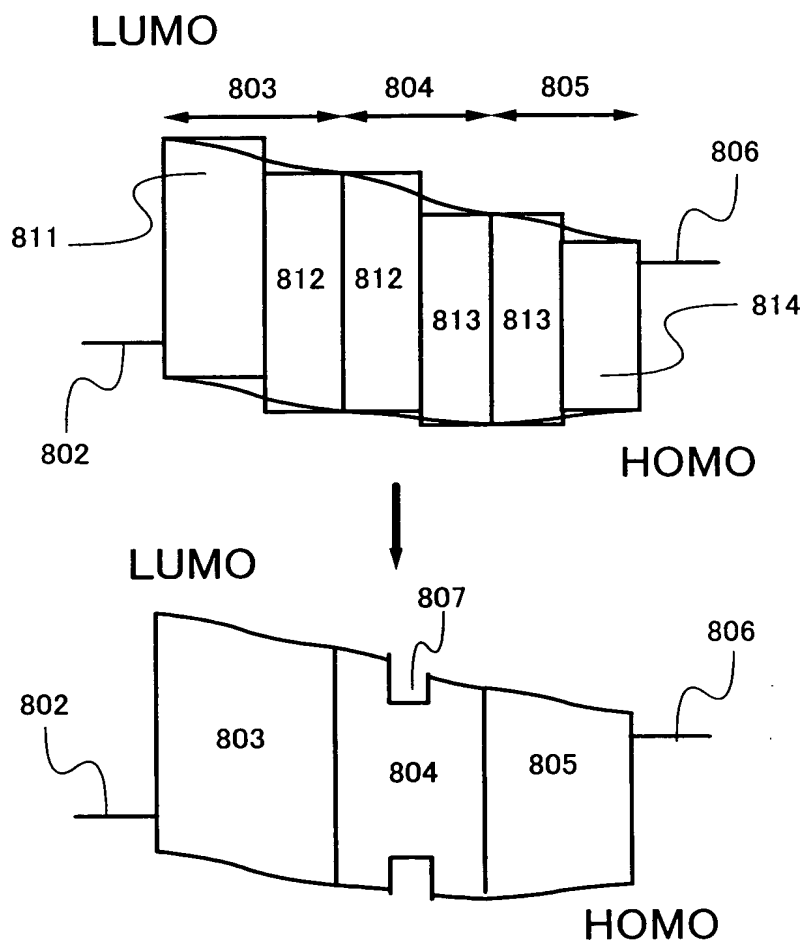


Fig. 19B

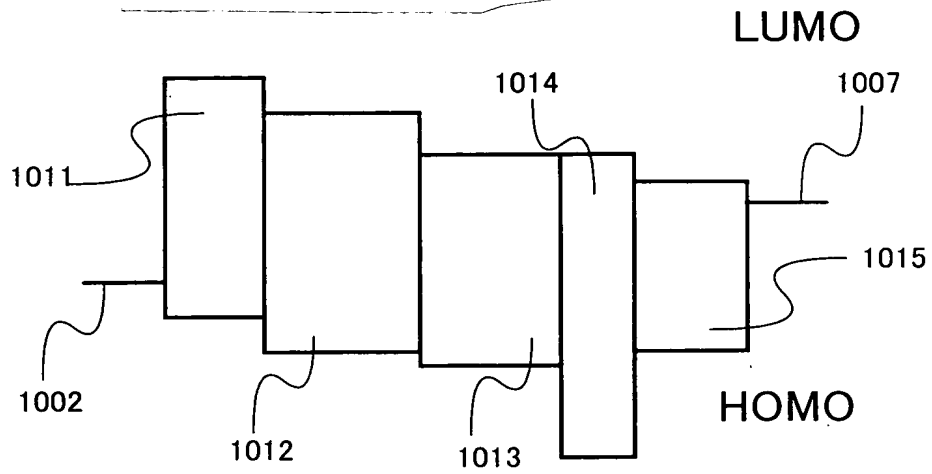


Fig. 20A

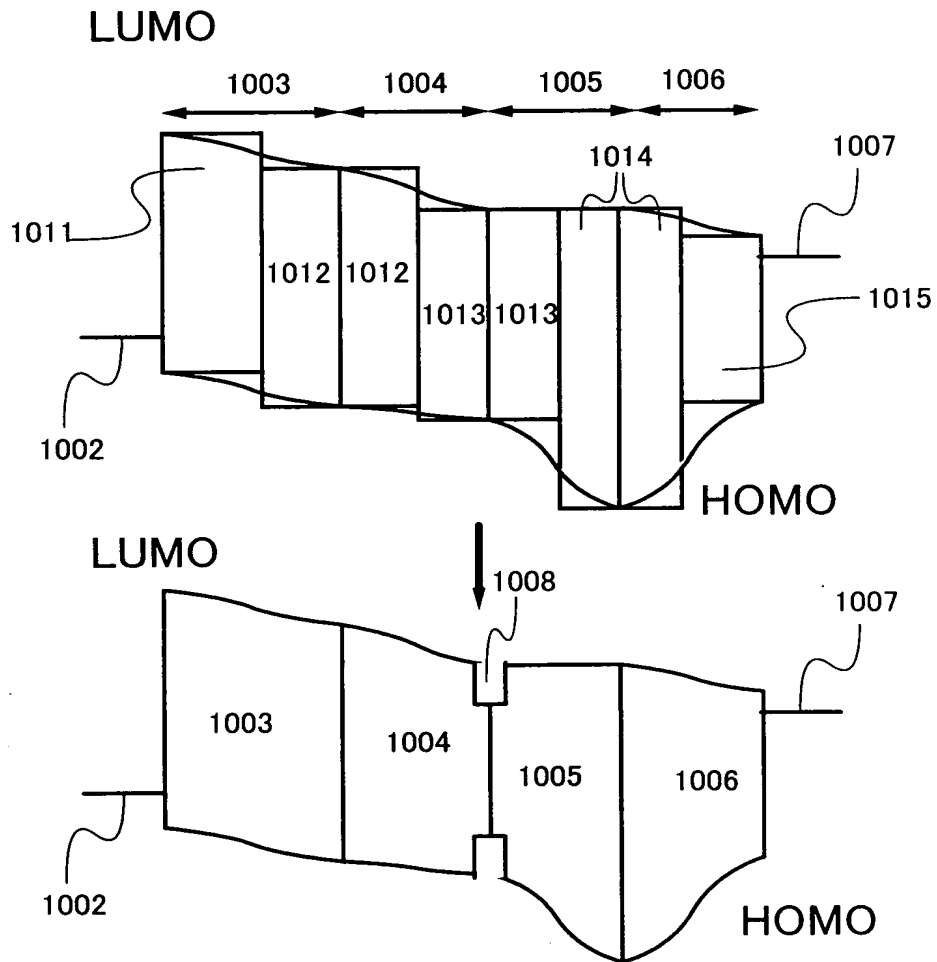


Fig. 20B

10026064-122101

Fig. 21

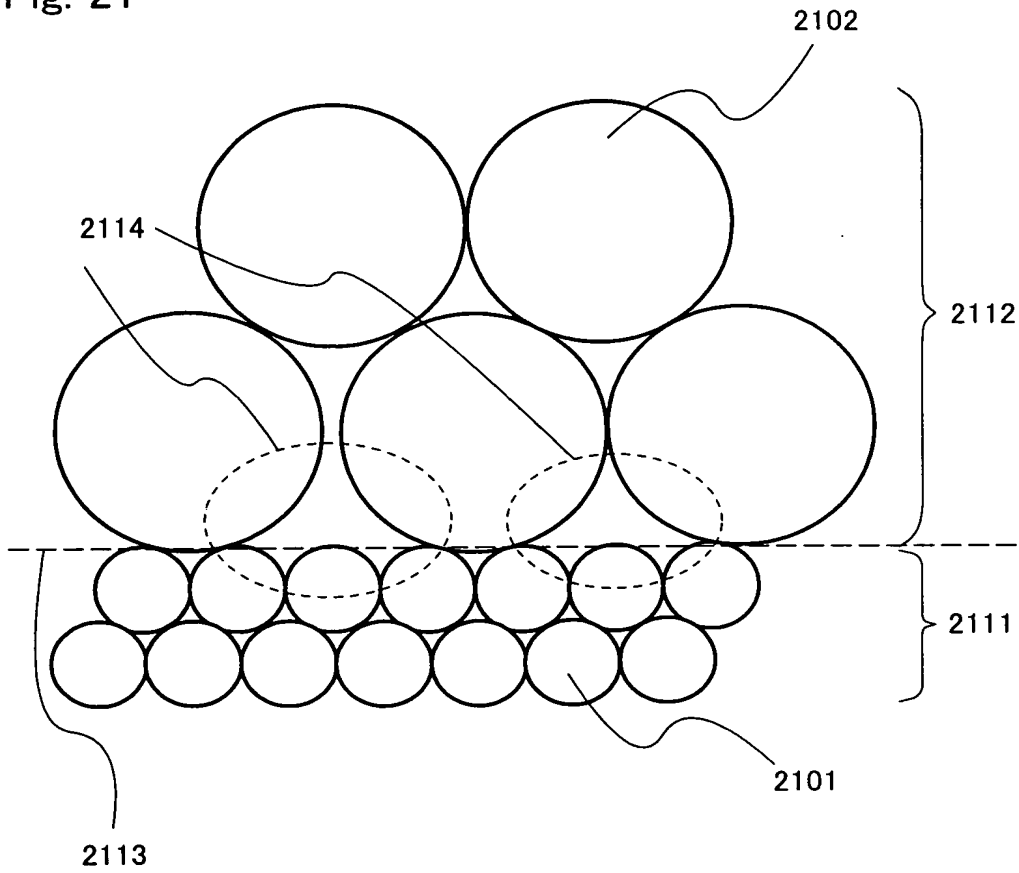


Fig. 22

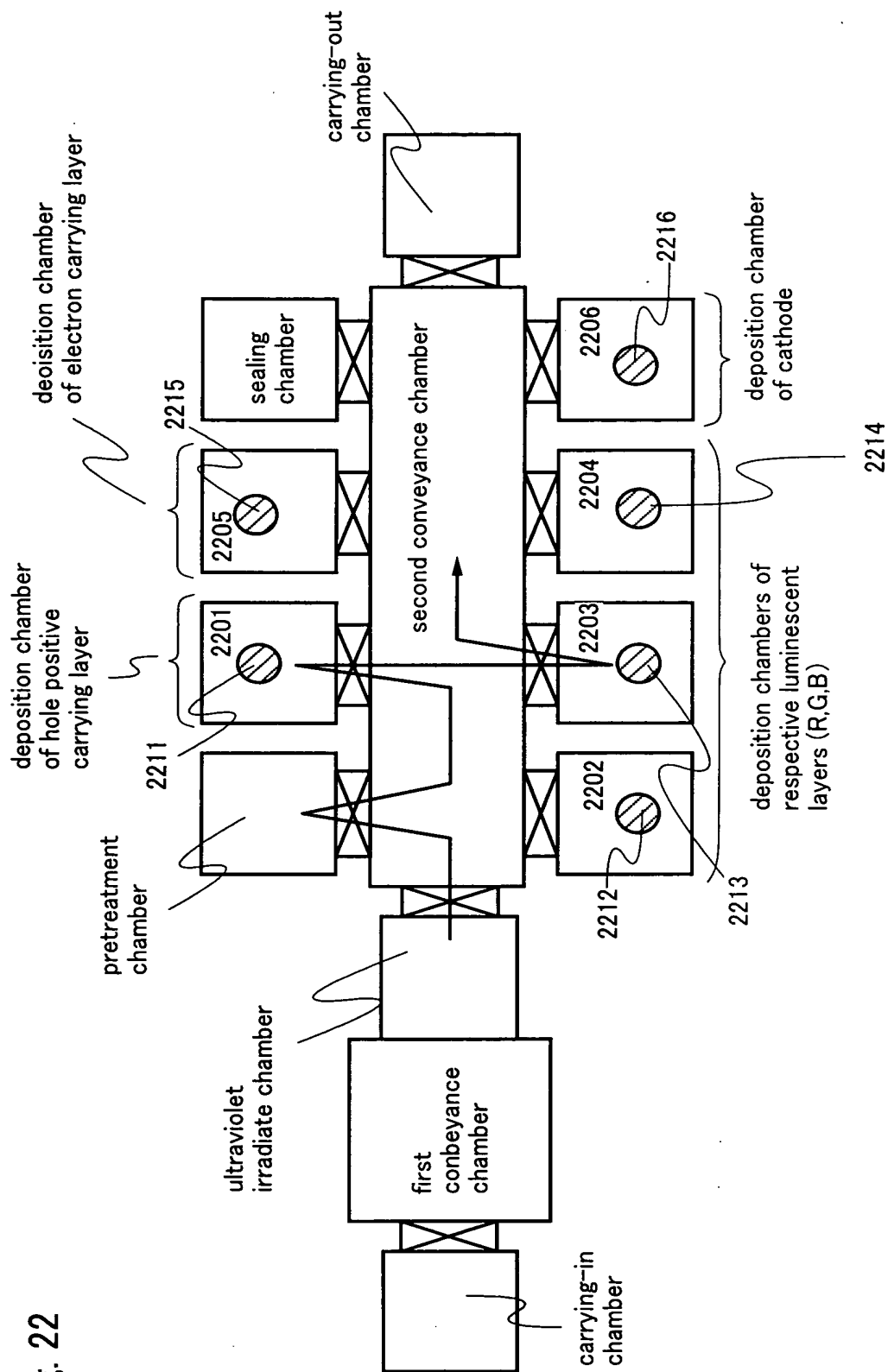
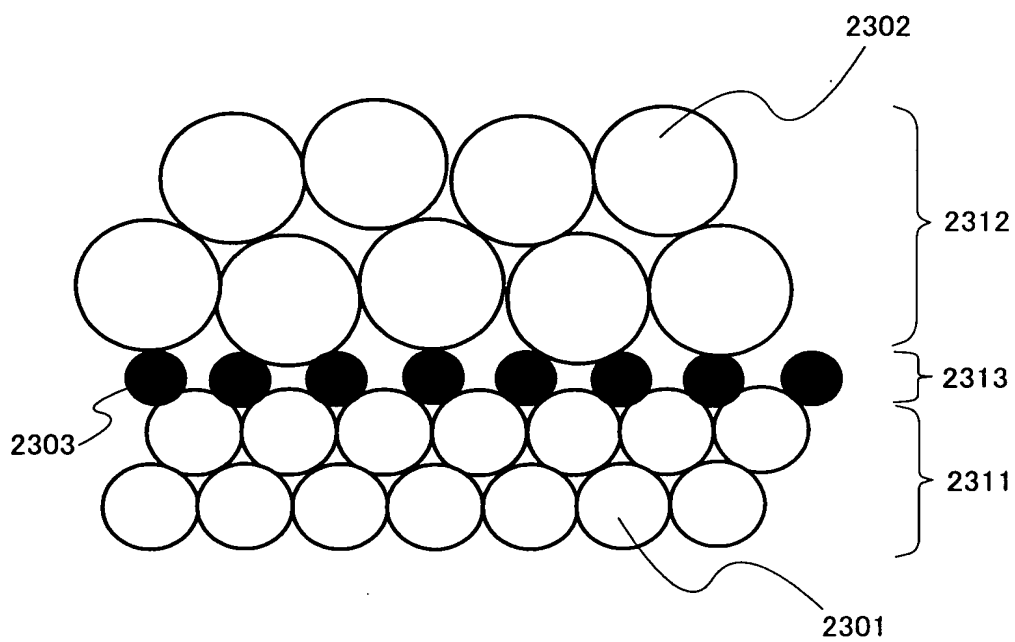
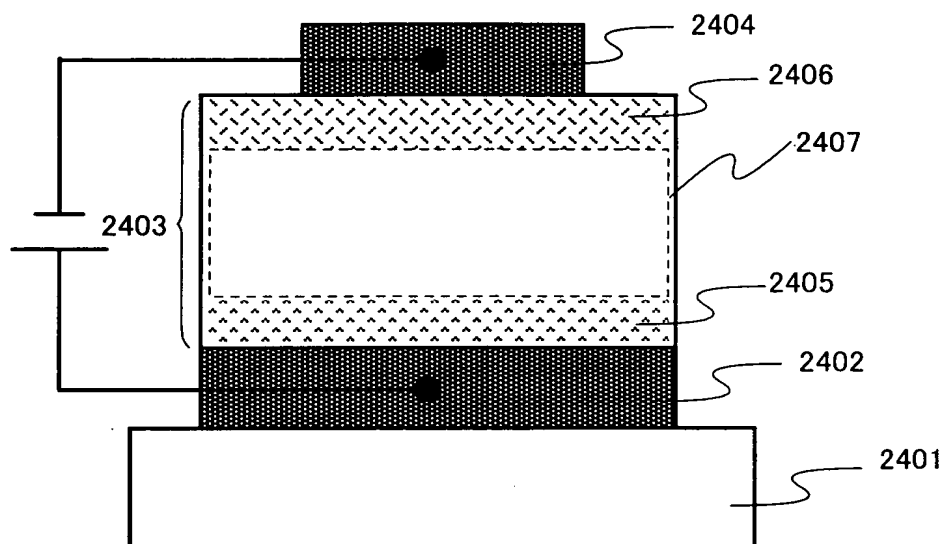


Fig. 23



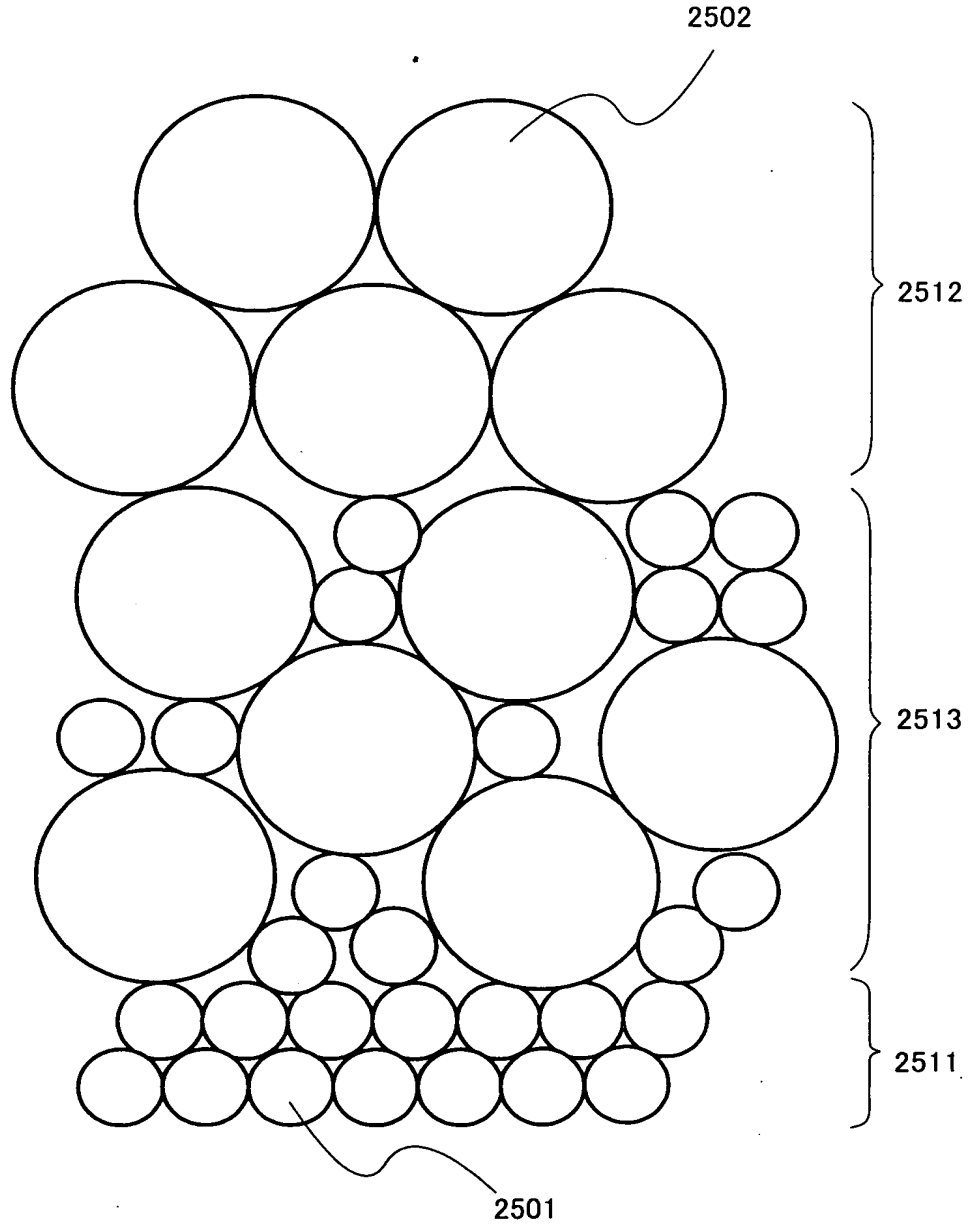
10025064-122101

Fig. 24



10023064-122101

Fig. 25



10026064-122101

Fig. 26A

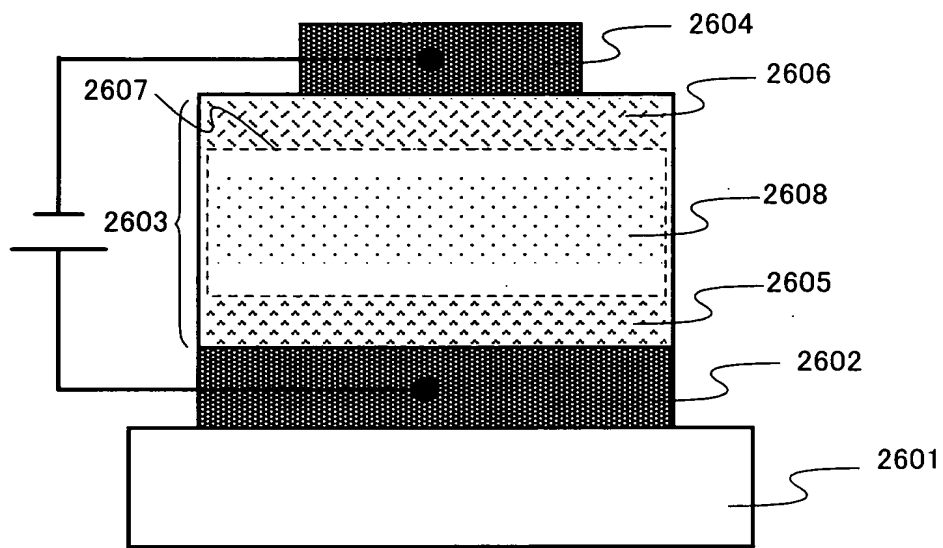
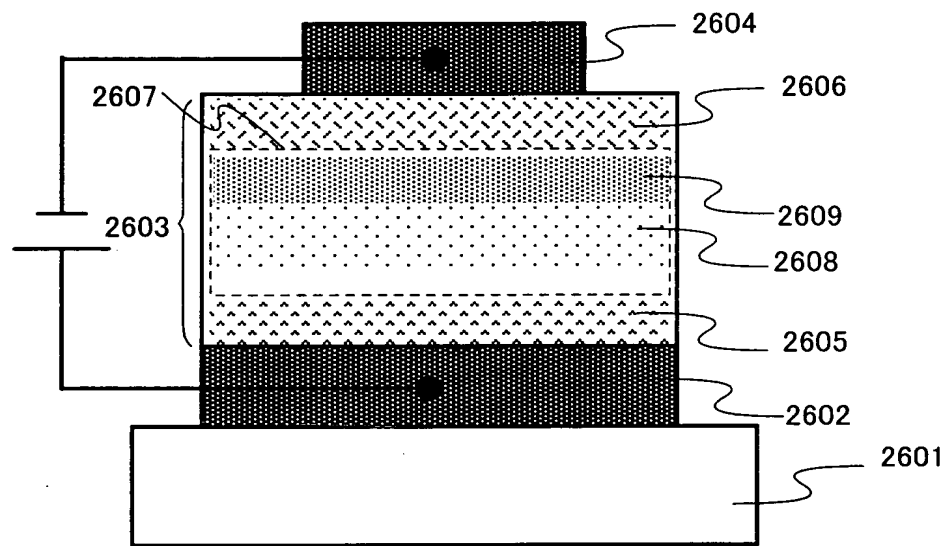
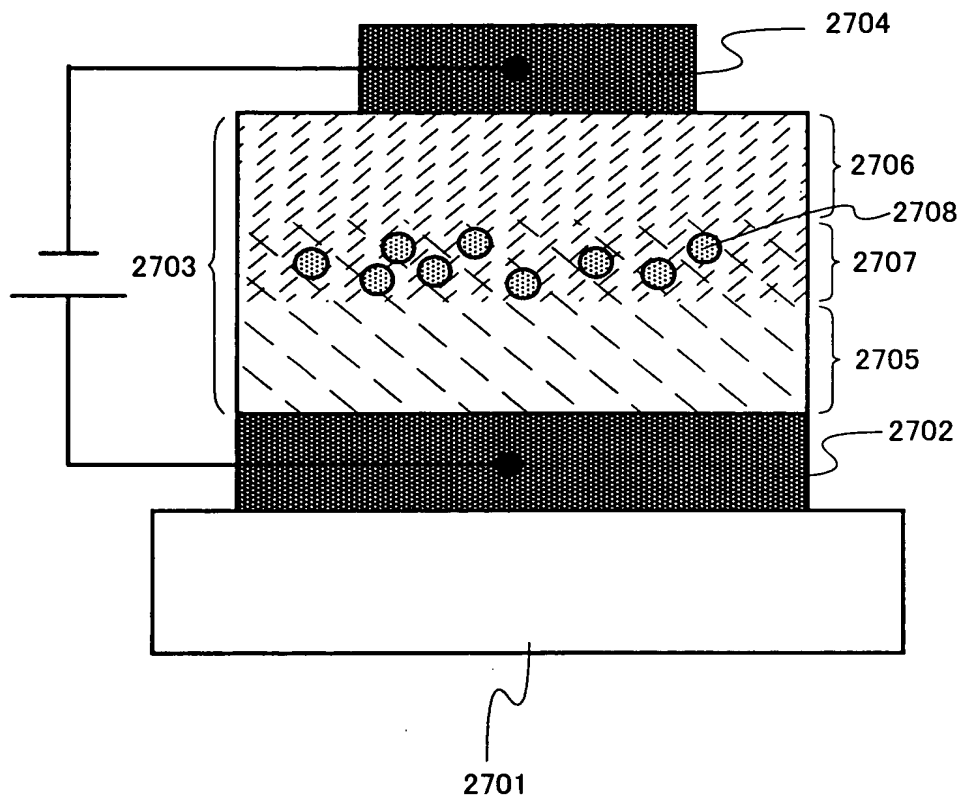


Fig. 26B



1005054-1201

Fig. 27



10026064-122101

Fig. 28

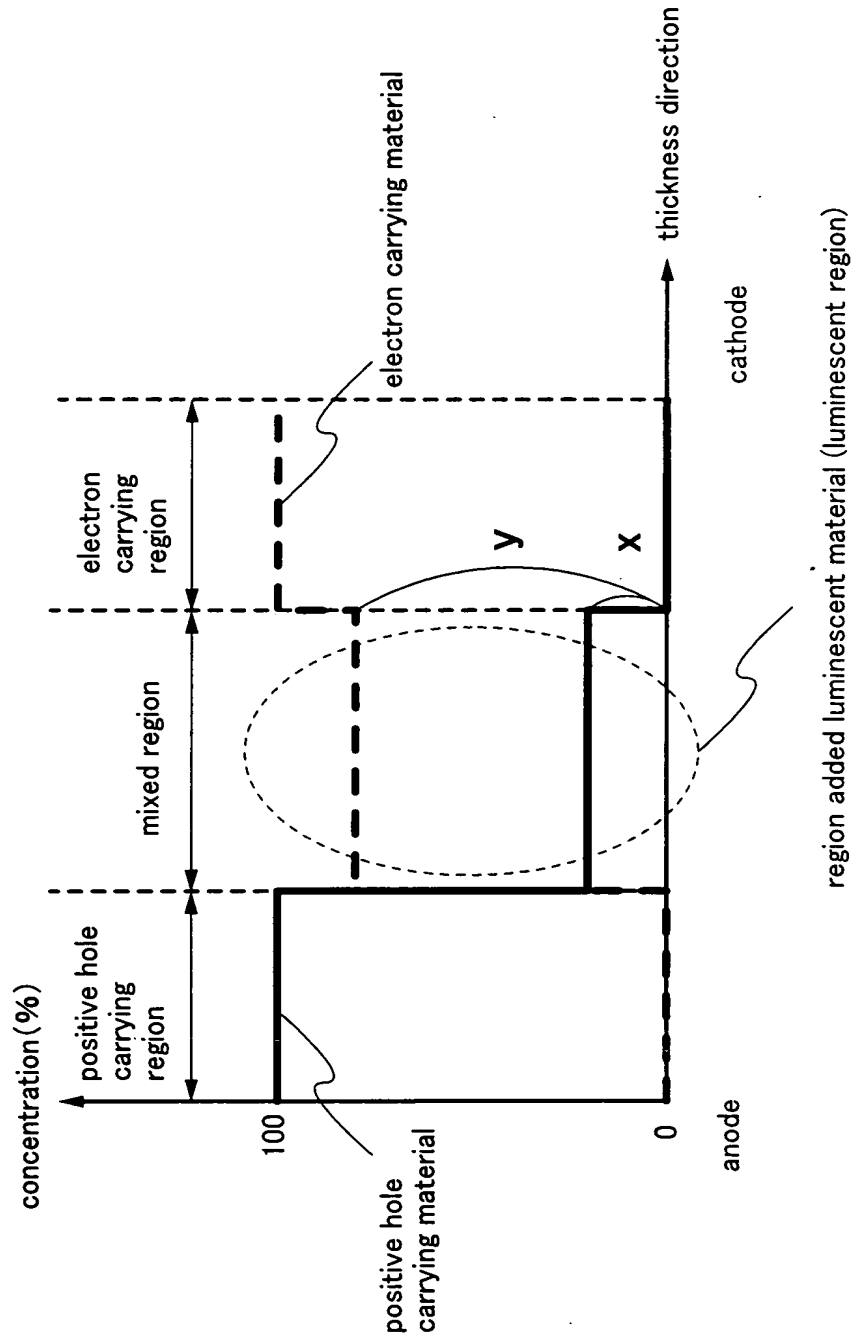


Fig. 29A

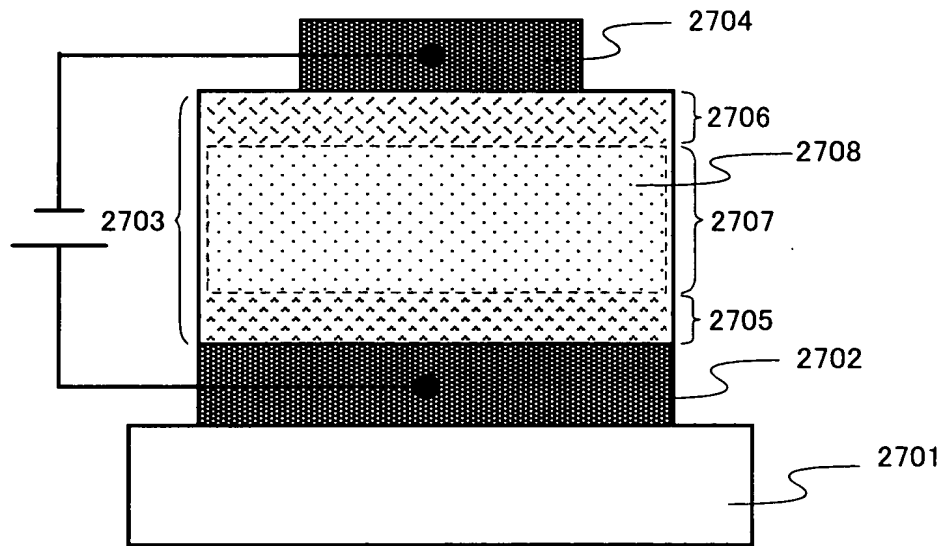


Fig. 29B

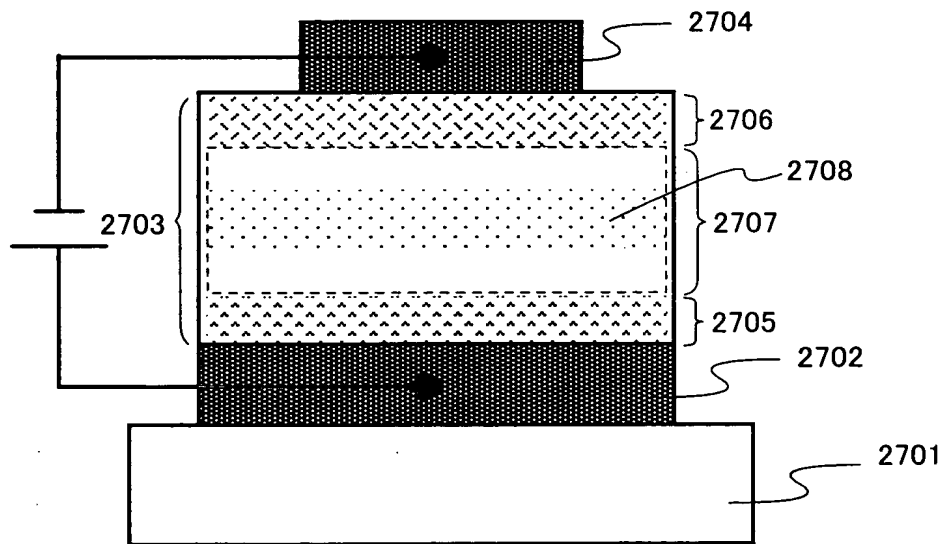


Fig. 30A

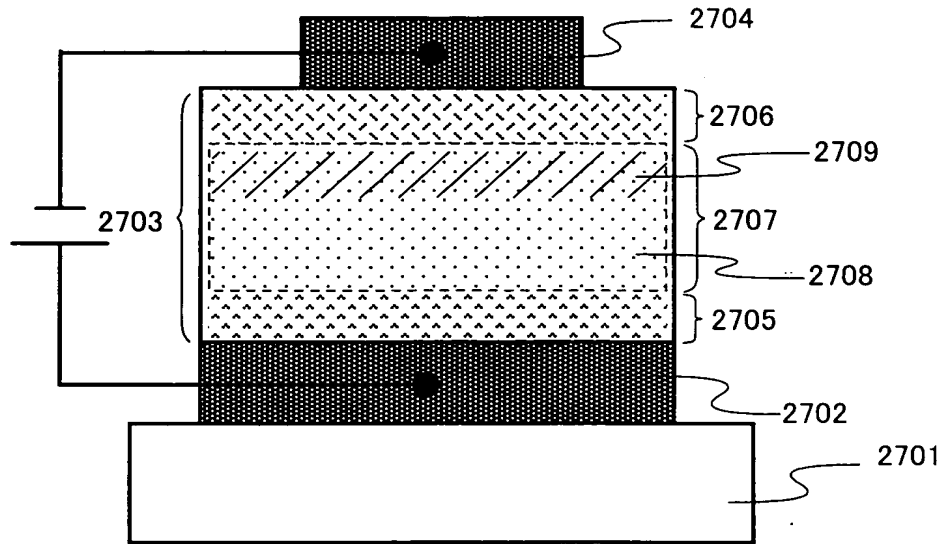


Fig. 30B

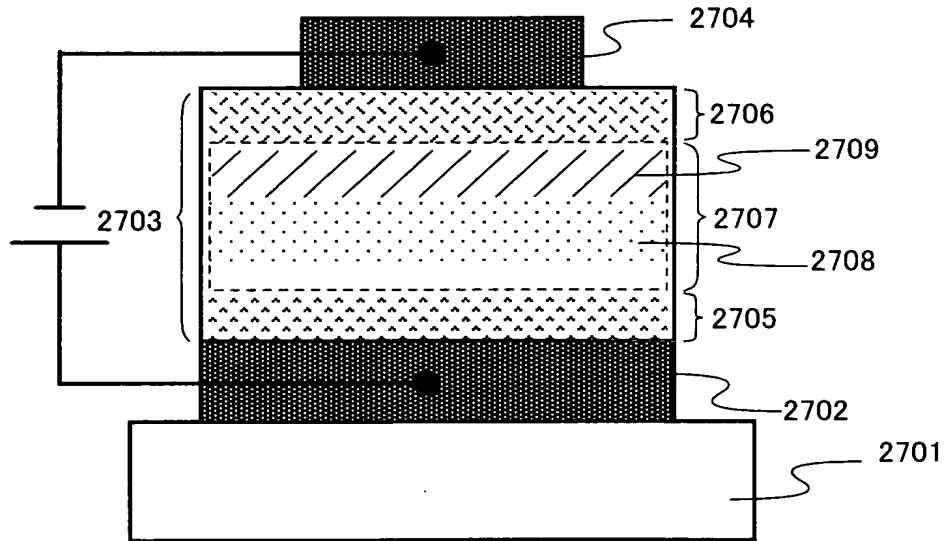


Fig. 31A

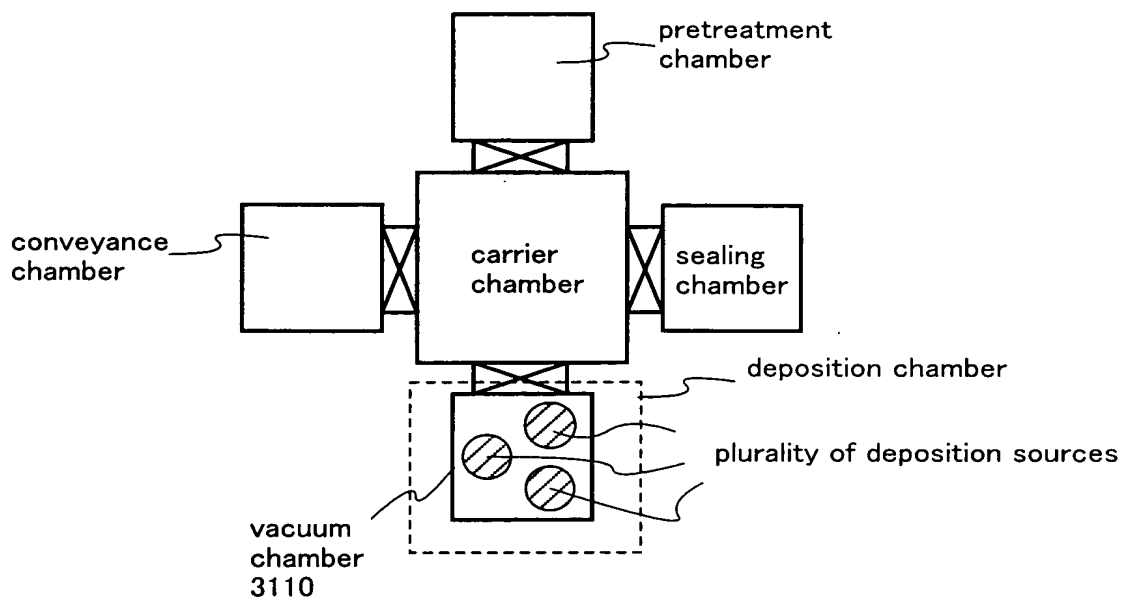
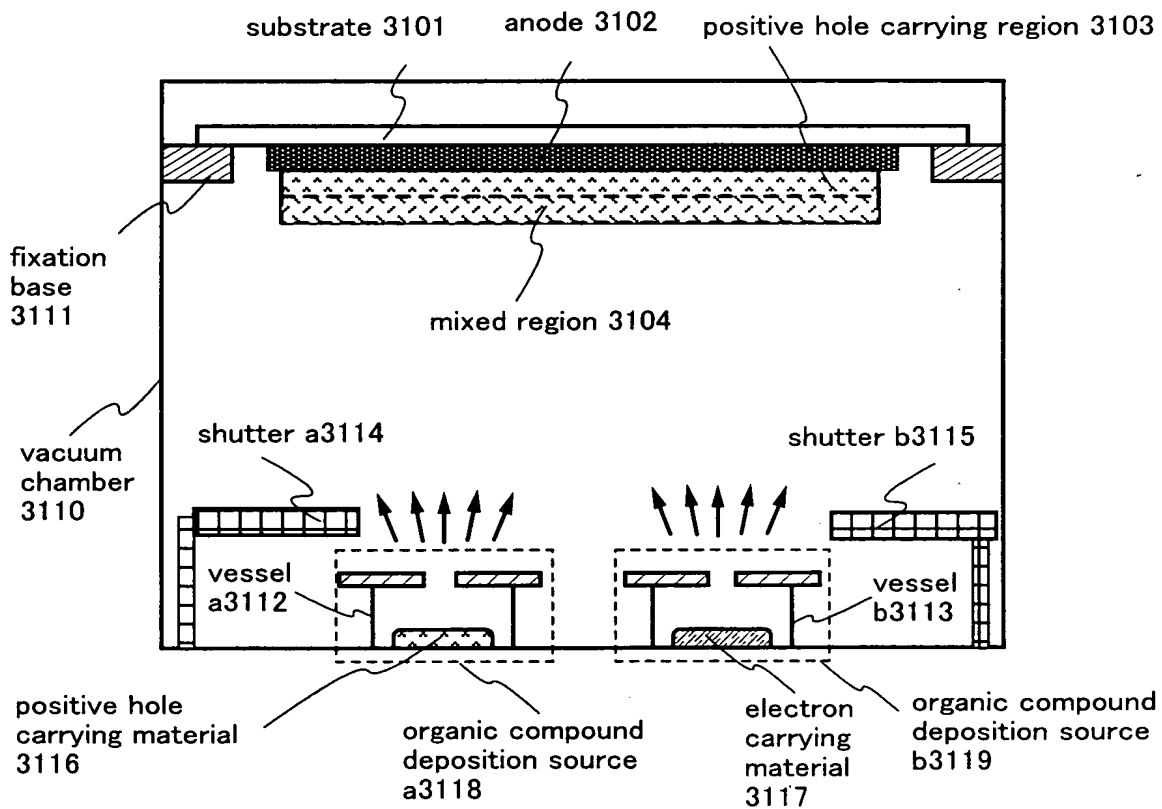


Fig. 31B



10026064-122101

Fig. 32A

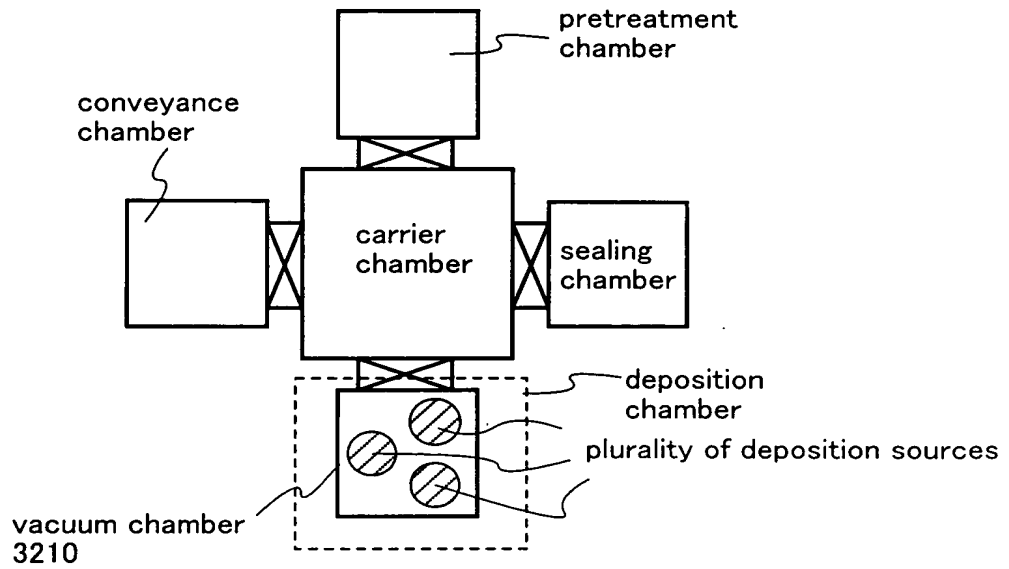
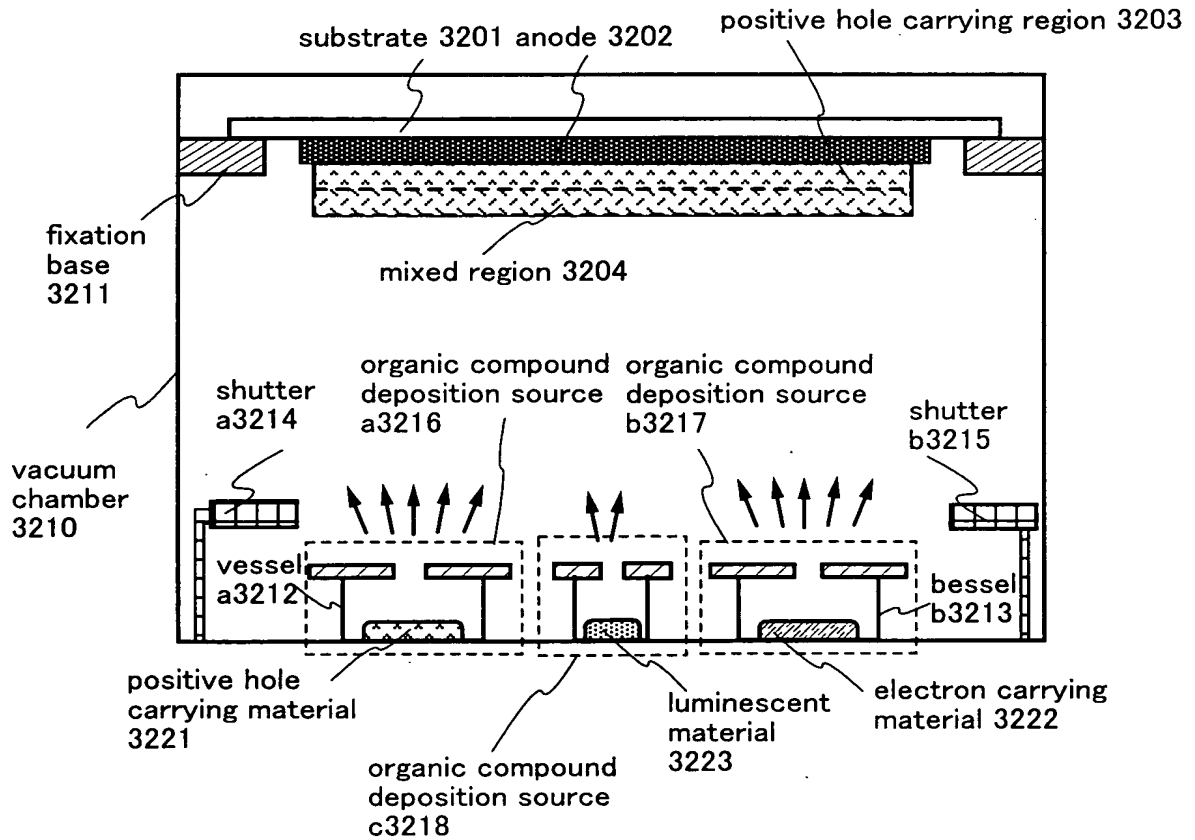
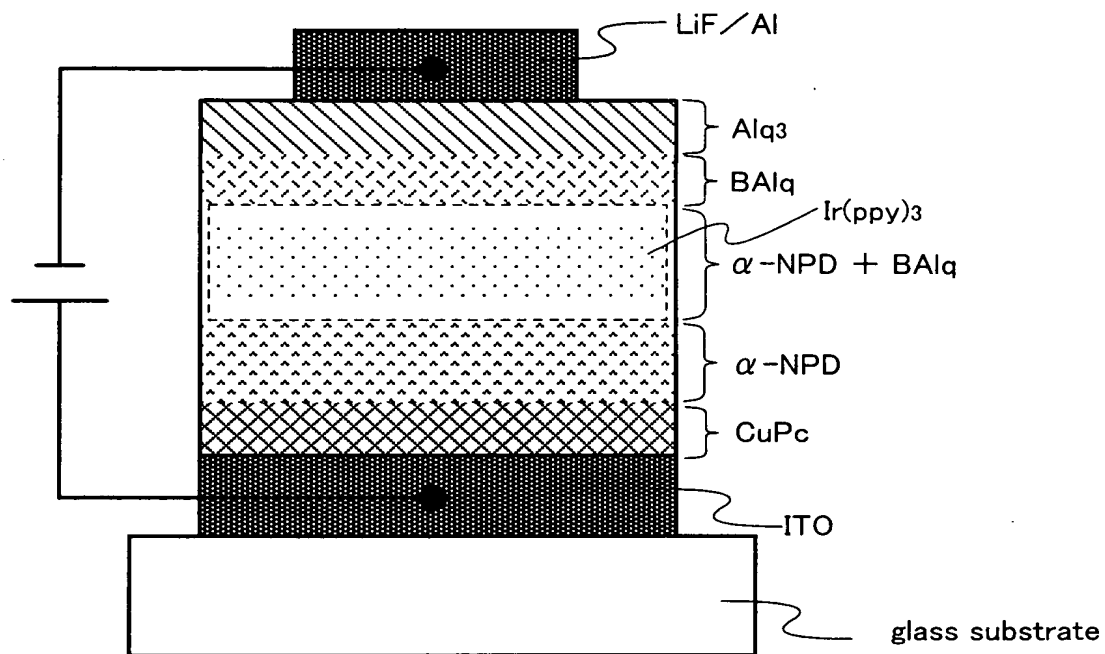


Fig. 32B



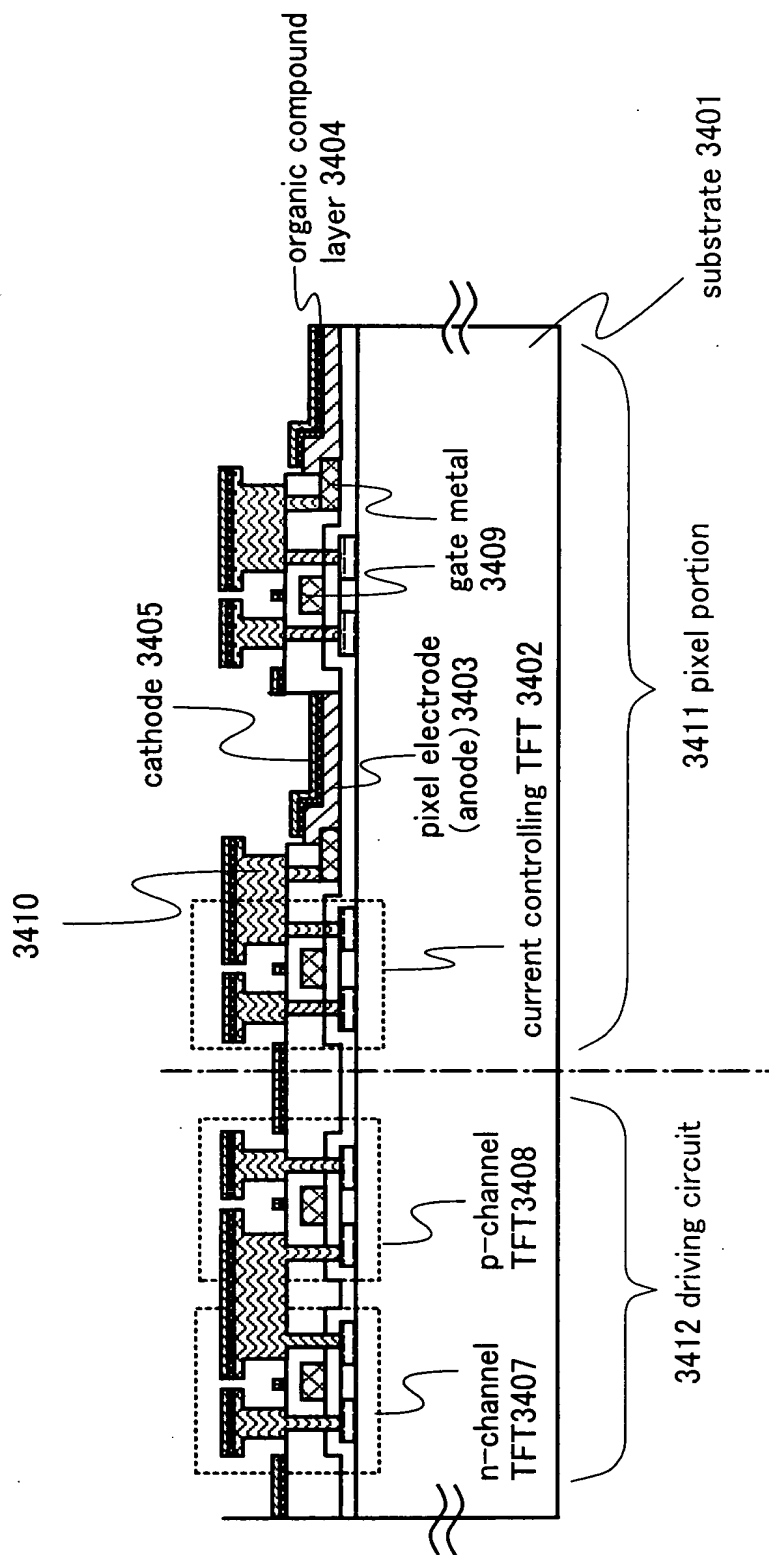
10026064-122101

Fig. 33



100265064-122101

Fig. 34



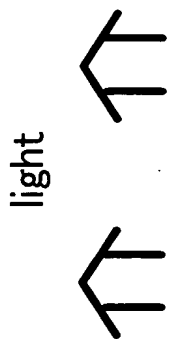


Fig. 35

3006064-13101

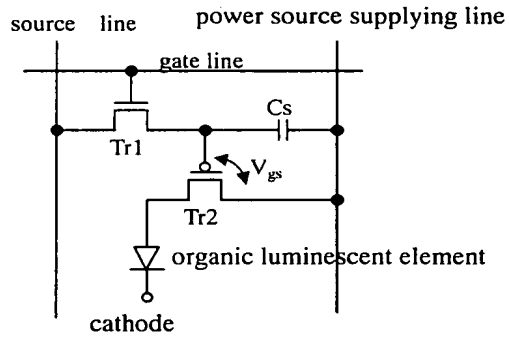


Fig. 36A

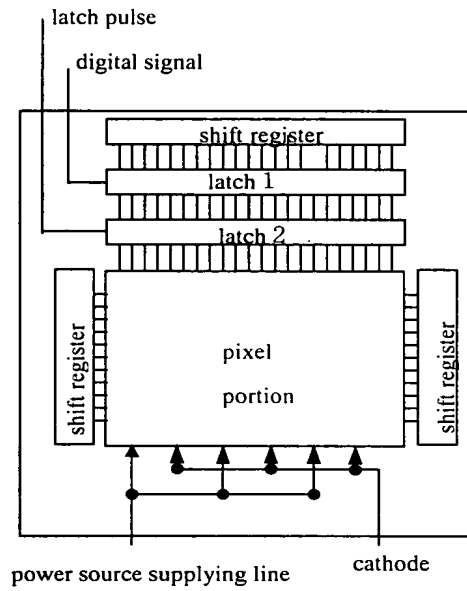
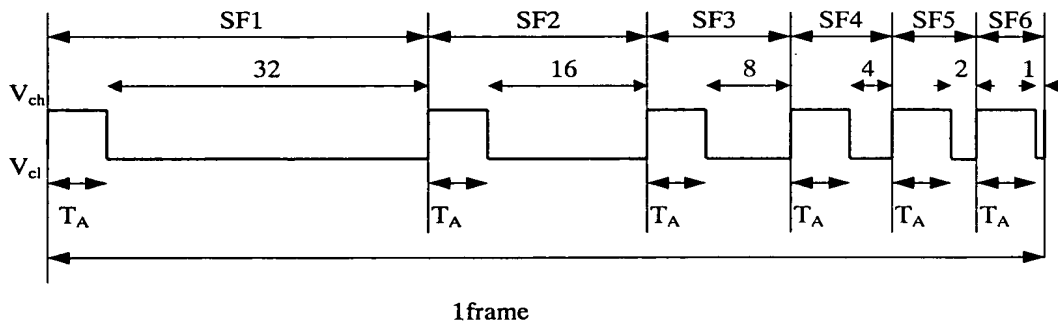


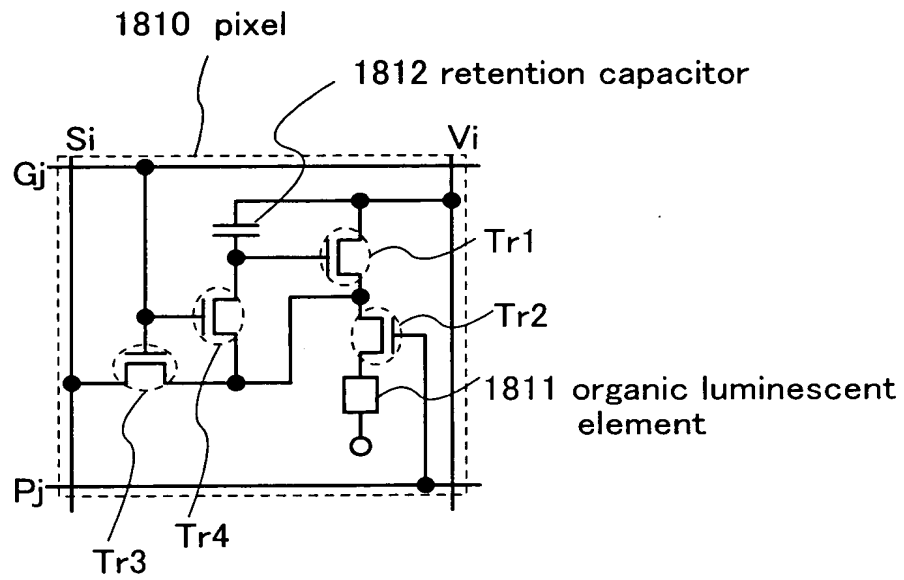
Fig. 36C



SF1-SF6: subframe, T_A : write in time

Fig. 36B

Fig. 37



10026064-122101